

하동 카올린으로부터 제조한 β -Sialon 분체의 계면특성

임현진·이홍림

연세대학교 세라믹공학과

(1992년 5월 14일 접수)

Interfacial Characterization of β -Sialon Powder Prepared from Hadong Kaolin

Hun-Jin Lim and Hong-Lim Lee

Dept. of Eng., Yonsei Univ.

(Received May 14, 1992)

요약

X-선 회절 및 IR 스펙트럼 분석을 하고 제타-전위를 측정하여 표면조작 전후의 Si_3N_4 및 β -Sialon 분체의 계면특성에 대하여 연구하였다. β -Sialon 분체는 하동 카올린으로부터 탄소환원질화법으로 합성하여 사용하였다. 표면조작 전의 Si_3N_4 및 β -Sialon 분체의 등전점은 각각 8.4와 7.4였다. 800°C 공기 중에서 24시간 동안 산화시킨 분체의 등전점은 Si_3N_4 및 β -Sialon 분체 모두 실리카의 등전점(pH=3)과 일치하였다. 헤교제로 Darvan C를 사용하는 경우에는 등전점은 3.0이었으며, 제타-전위는 pH 5~12의 범위에서 거의 일정하였다. SN 7347을 사용한 경우에는 등전점은 8.3이었으며, pH 11 이상에서 -156 mV의 높은 제타 전위값을 나타내었다.

ABSTRACT

X-ray diffraction patterns, IR spectra and zeta-potentials of silicon nitride and β -Sialon powders were investigated before and after surface manipulations. β -Sialon powder was produced from Hadong Kaolin by the carbo-thermic reduction and simultaneous nitridation. Isoelectric points of as-prepared Si_3N_4 and β -Sialon powders were 8.4 and 7.4, respectively. After both silicon nitride and β -Sialon powders were oxidized at 800°C for 24 h in air, the isoelectric points of these powders corresponded to that of silica (pH=3). In case of the addition of Darvan C as deflocculant, its isoelectric point was 3 and zeta-potential was nearly constant in the range of pH 5~12. When SN 7347 was used as deflocculant, its isoelectric point was 8.3 and zeta-potential over -156 mV was measured above pH 11.

1. 서 론

현탁액에서의 Si_3N_4 및 Sialon 분체의 계면화학은 분체, 혼합 그리고 성형공정에 영향을 미치며, 이로 인하여 Si_3N_4 및 Sialon 세라믹스의 소결성 및 기계적 성질에도 영향을 준다¹⁾. 용매에 잘 분산되어진 슬립을 이용하여 주입성형 등을 하면 큰 기공이나 응집현상을 피할 수 있으므로, 균일한 미세구조를 갖는 성형체를 얻을 수 있다²⁾. 나아가 성형체의 미세구조의 균일도(uniformity)가 증가하여 소결성 및 기계적 성질의 향상도 기대할 수 있다³⁾.

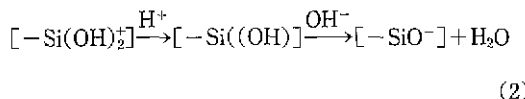
Si_3N_4 및 Sialon 분체의 표면은 비정질 산화물의 층

으로 덮혀 있으며 이 산화물층의 대부분이 실리카이며 그외 $\text{Si}_2\text{N}_2\text{O}$ 상으로 존재하기도 한다^{4,5)}. SiO_2 와 유사한 표면층을 가지고 있으므로, Si_3N_4 의 산염기 표면반응은 SiO_2 의 가수분해 반응이 지배적으로 작용한다.



그러므로, 실리콘상의 해리반응에 의해 pH는 감. 하게 되므로 수성현탁액에서의 Si_3N_4 의 산염기 반응은 표면조성을 특성화하는데 사용된다.

수성 용매 중의 Si_3N_4 표면전하는 다음의 반응에 따라 입자 표면에 존재하는 약산성의 silanol기의 pH에 의존하는 해리반응에 의해 생겨나기 쉽다.



그래서, Si_3N_4 분체의 표면전화 ϕ_o 는 수정 Nernst 방정식을 적용하여 다음과 같이 표현된다⁶⁾.

$$\phi_o = 2.3 \frac{kT}{e} (\text{pHz} - \text{pH}) - \frac{kT}{e} \left[\ln \frac{(\text{SiO}^-)}{(\text{SiOH}_2^-)} \right]$$

(3)

여기서, pHz는 IEP에서의 pH이며, 이 때 (SiOH_2^+) 농도는 (SiO^-) 농도와 같다. 식 (3)으로부터 Si_3N_4 의 유효표면전위는 silanol site density와 pH의 함수로서의 산·염기 해리반응에 의해 조절된다.

본 연구에서는 하동 카울린으로부터 탄소환원질화법으로 제조한 β -Sialon 분체의 표면 산화층의 성질 변화에 따른 계면특성을 조사하기 위하여 다음의 조건으로 표면조작을 하여 X-선 회절분석, IR 분석을 하고, 세타-전위를 측정하였다. 상업용 Si_3N_4 분체(H.C. Starcks, LCN-12 grade)에 대해서도 같은 실험을 하여 β -Sialon 분체의 결과와 비교 고찰하였다. ① as-prepared 분체, ② 550°C 공기 중에서 8시간 산화시킨 분체, ③ 800°C 공기 중에서 24시간 산화시킨 분체, ④ 1300°C 아르곤 분위기에서 2시간 열처리한 분체 그리고, 유기 폴리머의 영향을 조사하기 위하여 Darvan C와 SN-7347의 첨가량에 따른 세타-전위의 변화에 대해서도 연구하였다.

2. 실험방법

2.1. β -Sialon 및 Si_3N_4 분체의 표면조작

Si_3N_4 분체를 전보⁷⁾에서 기술한 방법으로 제조한 β -Sialon 분체와 함께 Table 1의 조건으로 표면을 조작하였다. 이 때 as-prepared 분체를 Powder 1, 550°C 공기 중에서 8시간 산화시킨 분체를 Powder 2, 800°C 공기 중에서 24시간 산화시킨 분체를 Powder 3, 1300°C 아르곤 분위기에서 2시간 열처리한 분체를 Powder 4라 명명하였다.

2.2. 분석 및 측정

X선 회절 분석기(D-Max. 3, Rigaku, Japan)를 사용하여 반응생성물의 상분석을 하였다(처리조건 : Ni-filtered CU α radiation, 30 KV, 15 mV).

α - Si_3N_4 와 β -Sialon 분체의 표면조작조건에 따른 결합 형태를 관찰하기 위하여 FTIR-Spectroscopy(Mattson Instruments Co., 미국)를 사용하여 KBr법으로 400~4000 cm^{-1} 의 파수범위에서 적외선 분광분석을 하였다.

Table 1. Conditions of Surface Oxide Manipulation for α - Si_3N_4 and β -Sialon Powder

| Notation | Condition of Surface Oxide Manipulation |
|----------|---|
| Powder 1 | As-Prepared |
| Powder 2 | Heat-Treatment at 550°C for 8 h in air |
| Powder 3 | Heat-Treatment at 800°C for 24 h in air |
| Powder 4 | Heat-Treatment at 1300°C for 2 h in air |

Table 2. Reference Infrared Absorption Peaks in Silicon Nitride

| α - $\text{Si}_3\text{N}_4(\text{cm}^{-1})$ | β - $\text{Si}_3\text{N}_4(\text{cm}^{-1})$ |
|--|---|
| 300 | 499 |
| 355 | 512 |
| 357 | 580 |
| 412 | 600 |
| 440 | 688 |
| 463 | 855 |
| | 874 |
| | 895 |
| | 909 |
| | 935 |
| | 995 |
| | 1040 |
| | 380 |
| | 447 |
| | 580 |
| | 910 |
| | 985 |
| | 1040 |

이때 Si_3N_4 의 분석을 위한 기준 데이터로는 Wada⁸⁾의 결과를 사용하였으며, 일반적인 Si_3N_4 분체의 FTIR의 피크값을 Table 2에 나타내었다.

세타전위는 Lazer Zee Meter(Model 501, Pen Kem Co., U.S.A.)를 사용하여 측정하였다. 0.01 g의 β -Sialon 또는 Si_3N_4 분체를 100 cc의 중류수에 넣고 초음파 텀침을 이용하여 5분간 강력하게 분산시켰다. 전해질로는 NaCl을 사용하였으며, 분산제를 12시간 동안 숙성한 후 HCl/NaOH 용액을 적정하여 pH를 조절하였다. pH를 조절한 혼탁액을 micro-electrophoresis cell에 주입하여 주어진 전기장하에서 이동하는 입자들은 군속도를 측정하고 Smoluchowski 식⁹⁾을 사용하여 세타전위를 산출하였다. 세타전위의 값은 각 조건에서 5~10번 측정한 값을 평균하여 취하였다.

3. 결과 및 고찰

3.1. 표면조작 조건에 따른 상의 변화

표면조작 조건에 따른 β - Si_3N_4 분체의 X선 회절분석 결과와 FTIR 스펙트럼의 개형을 Fig. 1과 Fig. 2에 각각 나타내었다. Powder 1, 2, 4에서는 X선 회절결과 α - Si_3N_4 의 특성 피크 이외에는 다른 결정상은 관찰되지 않았으며, FTIR 스펙트럼의 개형도 일치하였다. 그러나, 800 °C에서 24시간 동안 산화시킨 Powder 3에서는 Fig. 1(c)에서와 같이 20값이 18°에서 25° 사이에 걸쳐 base line이 broad하게 올라간 것이 관찰되었고, FTIR 스펙

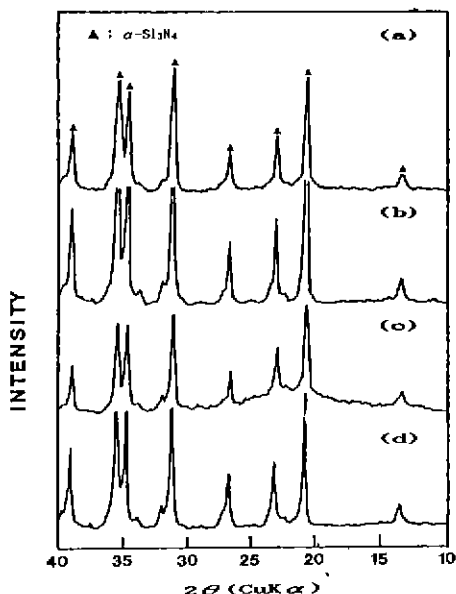


Fig. 1. X-ray diffraction patterns of Si_3N_4 powders.
 (a) powder 1, (b) powder 2, (c) powder 3, (d)
 powder 4

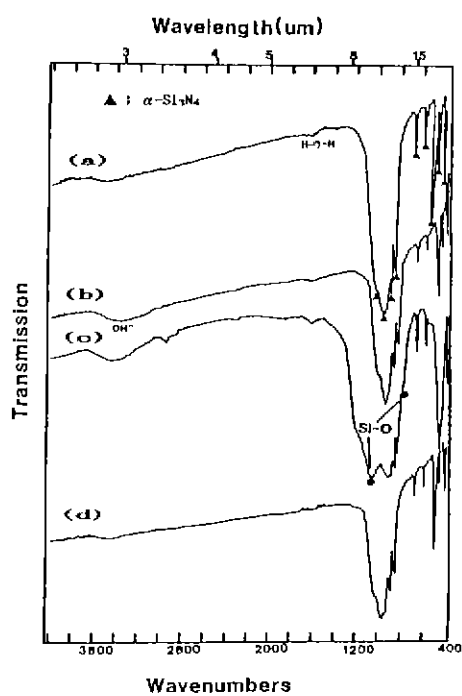


Fig. 2. Infrared absorption spectrum of Si_3N_4 powders
 in KBr pellet at room temperature.
 (a) powder 1, (b) powder 2, (c) powder 3, (d)
 powder 4

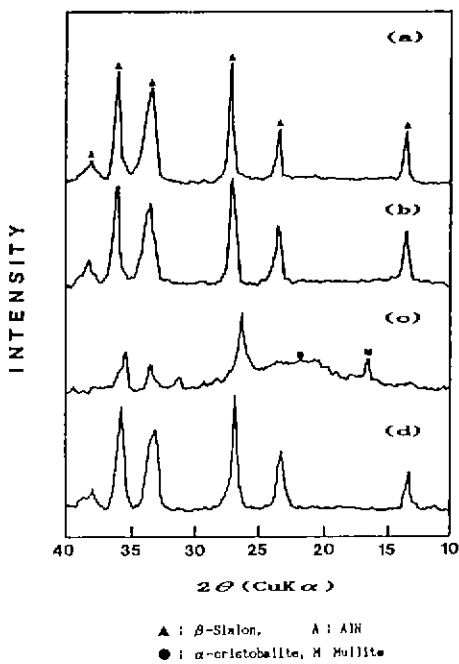


Fig. 3. X-ray diffraction patterns of β -Sialon powders
 (a) powder 1, (b) powder 2, (c) powder 3, (d)
 powder 4

트럼(Fig. 2(c))에서 파수 800 cm^{-1} 과 1090 cm^{-1} 에서 Si-O 결합이 관찰되었다. 이것은 Powder 3의 표면조작 조건에 따른 α -Si₃N₄ 분체의 표면에 산화가 일어나 비정질 실리카상이 생성되었기 때문으로 생각된다. Fig. 3에는 β -Sialon 분체의 표면조작 조건에 따른 X선 회절분석 결과의 개형을 나타내었다. X선 회절결과 각 Power 모두 β -Sialon과 AlN 피크가 관찰되었으며, Fig. 1(c)에서의 α -Si₃N₄ 분체의 결과와 유사하게 Powder 1, 2, 4의 X선 회절결과는 거의 같았으나, Powder 3의 분체에서만 20 grado이 18°에서 25° 사이에 걸쳐 base line이 broad하게 올라갔으며, 미량의 α -cristobalite와 mullite 상도 관찰되었다. Fig. 4에는 β -Sialon 분체의 표면조작 조건에 따른 TIR 스펙트럼의 개형을 나타내었다. 먼저 합성 β -Sialon 분체의 FTIR 분석결과를 보면(Fig. 4(a)), β -Sialon 분체의 특성피크는 Table 2에서 나타낸 β -Si₃N₄의 특성피크 이외에 650 cm^{-1} 에서 Al-O 결합이 관찰되었다. 그리고, β -Si₃N₄와 합성 β -Sialon 분체의 특성피크의 파수를 비교하여 보면, β -Sialon 분체의 경우 β -Si₃N₄ 분체보다 약 20 cm⁻¹ 정도 낮은 에너지의 영역으로 파수값의 변이가 일어났음을 알 수 있다. IR 파수의 구조적인 변이는 Table 3에 나타낸 것과 같이 치환의 형태에 따라 세 가지로

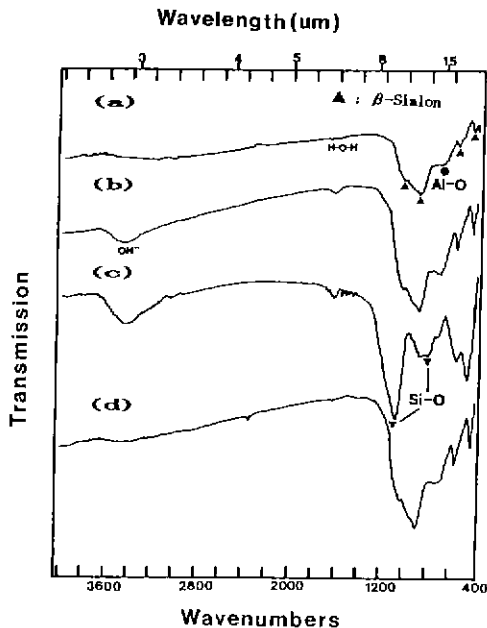


Fig. 4. Infrared absorption spectrum of β -Sialon powders in KBr pellet at room temperature.
(a) powder 1, (b) powder 2, (c) powder 3, (d) powder 4

나눌 수 있다. Sialon에서 Si 자리에 Al이 N 자리에 O는 비등가적으로 규칙적으로 배열하여 치환 고용하게 되는

Table 3. Expected Spectral Behavior accord to Type of Substitution

| Type of Substitution | Expected Spectral Behavior |
|---------------------------------|-----------------------------------|
| Random | No new bands. Frequency shifts |
| Ordering on non-equivalent site | No new bands. Frequency shifts |
| Ordering on equivalent sites | New bands. Frequency shifts |

것이므로 새로운 band는 생기지 않고 낮은 주파수로의 band의 이동이 일어나게 된다. Wild 등¹⁰⁾은 β -Sialon의 Z값의 변화에 따른 단위격자의 크기와 IR 파수와 이동 값을 구하였다. Table 4에 Wild 등¹⁰⁾이 보고한 결과를 인용하였는데, 본 실험에서 제조한 β -Sialon 분체의 Z값은 1.15~1.45의 범위의 값을 가졌다. 일반적으로 X선 회절 결과로부터 단위격자크기를 구하여 β -Sialon의 Z값을 결정하는 방법이 많이 이용되고 있으나, 이 방법은 Al과 O성분의 치환 고용이 완전히 이루어진 소결체의 Z값을 결정하는데는 유용하지만 합성분체처럼 minor phase가 존재하는 경우에는 적용하기 곤란하다. 그리고, ICP나 EDX로 성분분석을 하는 경우에도 minor phase를 고려할 수 없기 때문에, IR 스펙트럼으로부터 합성 β -Sialon 분체의 Z값을 구하는 것이 유용한 방법으로 생

Table 4. Unit-Cell Dimension and Wave Number of β -Sialon as a Function of Z-value¹⁰⁾

| Z value | Figure code | Unit-Cell Dimension (\AA) | | Wave Number [†] (cm^{-1}) | | |
|---------|-------------|--------------------------------------|-----------|---|-------|-------|
| | | a | c | v1 | v2 | v3 |
| 0 | a | 7.6035(6) | 2.9079(3) | 578.5 | 442 | 376.5 |
| 0.5 | — | 7.6161(6) | 2.9169(3) | 573 | 438 | 377 |
| 1.15 | b | 7.6253(10) | 2.9260(4) | 564 | 434 | 375 |
| 1.45 | g | 7.6351(8) | 2.9346(3) | 556 | 427 | 376 |
| 1.9 | c | 7.6486(10) | 2.9464(4) | 550 | 423 | — |
| 2.0 | — | † 7.660 | 2.957 | 539 | 416 | — |
| 2.5 | h | 7.6782(8) | 2.9729(3) | 527 | 407 | — |
| 3.3 | d | 7.6912(15) | 2.9833(7) | 517.5 | 506 | — |
| 3.75 | — | 7.7057(12) | 2.9961(5) | 498 | 398 | 306 |
| 3.97 | i | 7.7107(5) | 3.0046(2) | 496 | 371 | 304 |
| 4.0 | c | 7.7169(8) | 3.0085(4) | 496 | 371 | 304 |
| 4.0 | j | 7.7181(6) | 3.0094(3) | 494.5 | 367.5 | 303 |
| x=5.5* | — | 7.7189(10) | 3.0113(4) | 489.5 | 362.5 | 304 |
| 4.5 | k | † 7.7259(12) | 3.0190(5) | 481.5 | 362.5 | 303 |

*Based on Jack's originally reported composition; $\text{Si}_{(60-0.7x)}\text{Al}_{0.67x}\text{N}_{(6-x)}\text{O}_z$; †Measurement using Hägg Guinier camera, all other measurement made with 19 cm powder camera. [†]Maximum error of measurement $\pm 1 \text{ cm}^{-1}$

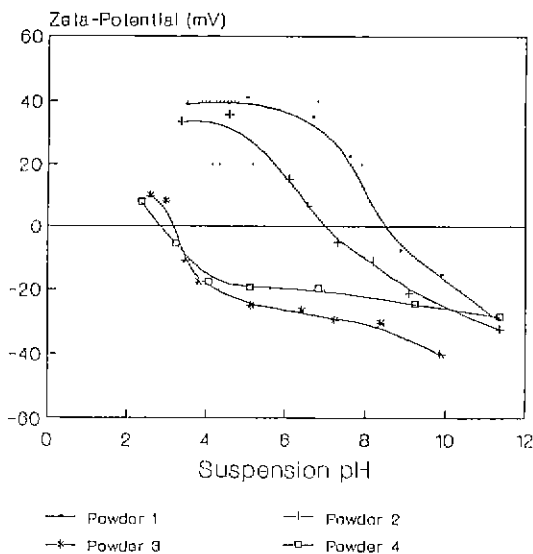


Fig. 5. Zeta-potential of Si_3N_4 powders measured as a function of pH.

각된다. 그리고, Powder 2의 IR 개형은 Powder 2의 IR 개형과 거의 같았으나, Powder 3의 FTIR 스펙트럼(Fig. 4(c))에서도 파수 800 cm^{-1} 과 1090 cm^{-1} 에서 Si-O 결합이 관찰되었으므로, Fig. 1, 2, 3, 4의 결과에 의해서 500°C 에서 8시간 산화시킨 Powder 2에서는 산화가 거의 일어나지 않았으며, 800°C 에서 24시간 산화시킨 Powder 3의 분체에서만 산화가 일어난 것으로 생각된다. Ar 분위기에서 열처리한 Powder 4의 X선 회절분석 및 IR 분석 결과는 Powder 1의 결과와 거의 차이가 없었다.

3.2. β -Sialon 분체의 계면특성

표면조작 조건에 따른 α - Si_3N_4 분체의 제타-전위를 pH를 변화시키면서 측정한 결과를 Fig. 5에 나타내었다. Si_3N_4 의 등전점의 이론값은 6이나 시판되고 있는 Si_3N_4 분체의 제타-전위값은 모두 다르다. 이것은 시판되고 있는 Si_3N_4 분체 표면의 silanol site density가 모두 다르기 때문으로 생각되며, Si_3N_4 의 표면은 항상 비정질 산화물층으로 덮혀 있으므로 6 이하의 값을 가지는 것이 타당하다⁹. KEMAORD사나 Siconide P95M 등의 반응 소결에 의해 제조되어진 Si_3N_4 분체의 등전점은 약 4로 보고되고 있으며, 실리콘-이마이드법으로 제조한 Si_3N_4 분체의 등전점은 6으로 보고되고 있다^{11,12}. 실리콘-이마이드법으로 제조되어진 분체의 경우도 표면에 산화층이 존재하지 않기 때문에 6의 값을 가지는 것이 아니라, 이것은 분체의 표면에 Si-NH₂ 또는 Si₂NH 결합이 존재

하기 때문으로 알려지고 있다¹³. 본 실험에서 사용한 H. C. Strack LCN-12 등급의 분체의 경우 as-received 상태(Powder 1)에서 등전점은 8.3을 나타내었는데, 이 분체는 반응소결법으로 분체를 제조한 후 free Si를 제거하고 산소의 함량을 줄이기 위하여 HF 또는 HCl 처리 공정을 거치는데 이 때 F 또는 Cl이온의 표면에 흡착되어 등전점을 증가하는 것으로 알려져 있다¹⁴. Powder 2 분체의 제타전위가 Powder 1보다 낮아지는 것은, 앞서의 3.1에서 X선 회절분석, IR 스펙트럼 결과 및 전보의 XPS에 의한 표면상의 분석결과 거의 차이가 없었으므로 500°C 에서 8시간 산화시켜 표면의 산화량의 증가에 의한 영향보다는 as-received 분체의 표면에 흡착되어 있었던 F이온이 탈착되었기 때문으로 생각된다. 800°C 에서 24시간 동안 산화시킨 Powder 3의 경우에는 등전점이 3.2로 낮아졌다. 이것은 전보⁷의 투과전자현미경 사진에서 Si_3N_4 및 Sialon이 산화되어 표면의 실리카층이 두꺼워졌으며, 3.1절의 X선 회절결과와 IR 결과에서 Si-O 결합이 확인된 것으로 미루어 보아, Si_3N_4 및 Sialon의 표면에 존재하는 실리카의 등전점(pH 3)을¹⁴ 나타낸 것으로 생각된다. 그리고, Powder 4의 경우 X선 회절결과와 IR 결과는 Powder 1과 유사하나, 등전점은 2.9의 낮은 값을 나타내었다. 전보의 XPS 결과에서 고찰한 바와 같이⁷ 아르곤 기체내에 미량 존재하는 산소와 반응하여 Si_3N_4 및 Sialon 표면에서 질소의 함량이 감소하고 산소의 함량이 증가하였는데, 이로 인하여 Si_3N_4 및 Sialon의 표면에는 실리카의 층이 존재하여 실리카의 등전점을 나타내었으나, 그 양이 적어서 X선 회절이나 IR로서는 검출할 수 없었기 때문으로 생각된다.

Fig. 6에는 표면조작 조건에 따른 β -Sialon 분체의 제타-전위를 pH를 변화시키면서 측정한 결과를 나타내었다. as-prepared 분체(Powder 1)의 등전점은 7.4로서 H.C. Starcks사의 Si_3N_4 분체를 제외한 대부분의 Si_3N_4 분체의 등전점은 보다는 높은 값을 나타내었다. 이것은 3.1절에서의 FTIR 결과와 전보⁷의 XPS 결과에서 β -Sialon 분체의 표면에는 Al-O 결합이 존재하는데 Al_2O_3 의 등전점은 9이므로¹⁴, 표면에 존재하는 Al-O 결합의 영향 때문에 Si_3N_4 분체의 등전점보다 높은 값을 보이는 것으로 생각된다. 500°C 에서 8시간 산화시킨 Powder 2의 등전점은 Powder 2와 거의 같았다. 그러나, 800°C 에서 24시간 산화시킨 Powder 3 분체의 등전점은 2.7로 실리카의 등전점과 거의 같은 값을 나타내었다. 이것은 Si_3N_4 분체의 결과와 마찬가지로 표면산화층의 양이 증가하였기 때문으로 생각된다. Ar 분위기에서 열처리한 Powder 4의 등전점도 Si_3N_4 분체의 결과와 유사하게 아르곤 기체내에

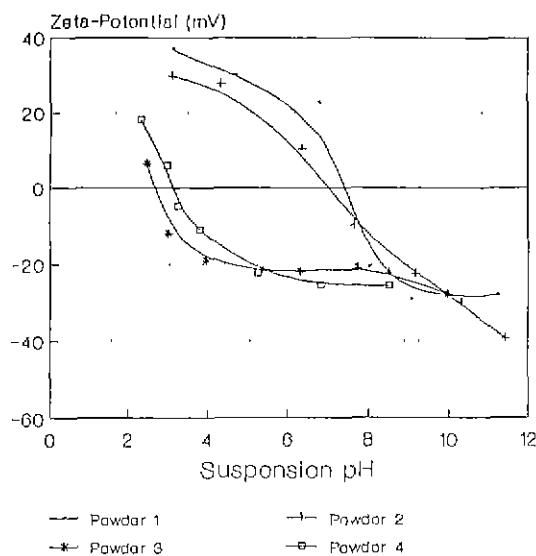


Fig. 6. Zeta-potential of β -Sialon powders measured as function of pH.

Table 5. Isoelectric Points in Zeta-Potential for Each Powder

| | Isoelectric Point | |
|----------|--------------------------------|-----------------------|
| | $\alpha\text{-Si}_3\text{N}_4$ | $\beta\text{-Sialon}$ |
| Powder 1 | ~ 8.4 | ~ 7.4 |
| Powder 2 | ~ 7.0 | ~ 7.0 |
| Powder 3 | ~ 3.2 | ~ 2.7 |
| Powder 4 | ~ 2.8 | ~ 5.6 |

함유되어 있던 산소와 반응하여 표면에 산화가 일어나 등전점은 5.4로 Powder 1의 등전점보다 낮아진 것으로 생각된다. 표면조작 조건에 따른 Si_3N_4 분체와 $\beta\text{-Sialon}$ 분체의 등전점값들을 Table 5에 정리하여 나타내었다.

As-Prepared $\beta\text{-Sialon}$ 분체에 대하여 전해질로 사용한 NaCl 수용액의 이온강도를 10^{-3} M 과 10^{-2} M 로 변화시키면서 측정한 제타전위값을 Fig. 7에 나타내었다. 등전점보다 낮은 pH의 조건에서는 pH 변화에 따른 제타전위의 일반적인 거동과 같이 이온강도가 증가함에 따라 제타전위는 감소하였다. 그러나, pH 8 이상의 염기성의 조건에서는 $I=10^{-2}\text{ M}$ 에서의 제타전위값이 $I=10^{-3}\text{ M}$ 에서의 값보다 더 큰 값을 나타내는 비정상적인 거동을 보였다. 이러한 비정상적인 거동은 $I=10^{-3}\text{ M}$ 에서보다 $I=10^{-2}\text{ M}$ 에서의 adsorbate인 암모니아의 desorption이 더 많이 일어났기 때문에 $I=10^{-2}\text{ M}$ 에서 더 많은 음이온 자리리를 남길 수 있어서 전단면을 음이온의 표면에 가

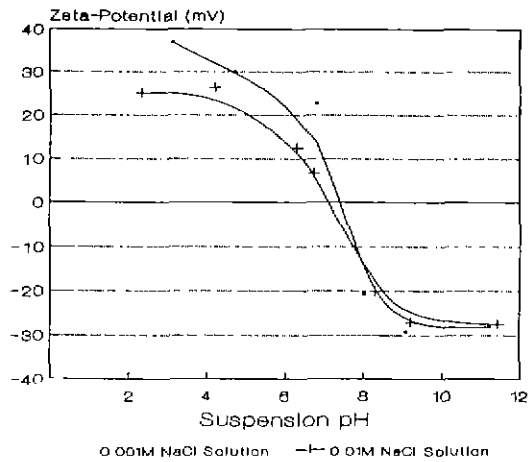


Fig. 7. Zeta-potential for powder 1 of β -Sialon measured as a function of pH in different ionic strength.

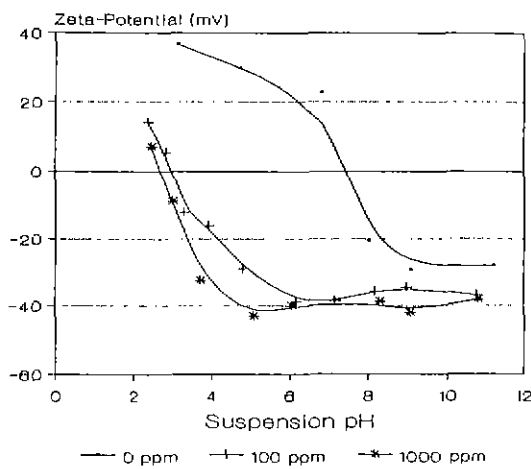


Fig. 8. Zeta-potential for powder 1 of β -Sialon measured as a function of pH in different Darvan C concentrations.

깝도록 이동시켰기 때문으로 생각된다. Fig. 8에는 해교제로 Darvan C를 0 ppm과 100 ppm, 1000 ppm 첨가한 경우의 pH 변화에 따른 as-prepared $\beta\text{-Sialon}$ 분체의 제타전위를 나타내었다. Darvan C를 해교제로 첨가하였을 때에는 등전점이 7.4에서 3.0으로 감소하였으며, pH 5~12의 범위에서 거의 일정한 제타전위값을 나타내었다. Darvan C를 $\beta\text{-Sialon}$ 의 해교제로 사용하는 경우에는 넓은 pH 범위에서 안정한 혼탁액의 제조가 가능할 것으로 생각된다. Fig. 9에는 해교제로 SN 7347을 0 ppm과 100 ppm, 1000 ppm 첨가한 경우의 pH 변화에 따른 as-

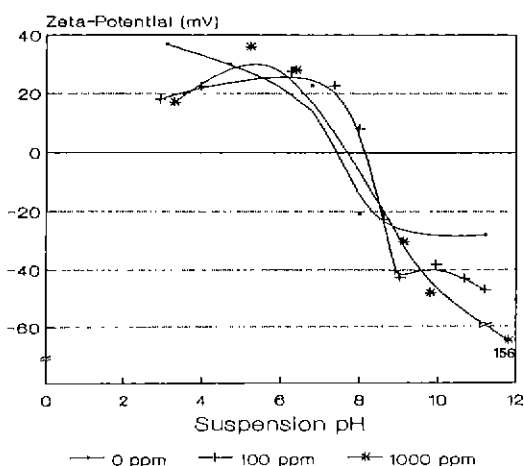


Fig. 9. Zeta-potential for powder 1 of β -Sialon measured as a function of pH in different SN-7347 concentrations.

预备 β -Sialon 분체의 계면특성을 나타내었다. SN 7347은 아주 강염기성의 해고제로서 pH 11에서 -156 mV의 높은 계타전위값을 나타내었으므로, β -Sialon 혼탁액을 제조할 때 해고능이 우수할 것으로 예상된다.

4. 결 론

상업용 Si_3N_4 분체와 하동 카올린으로부터 합성한 β -Sialon 분체의 표면조작 조건에 따른 표면 및 계면특성을 X선 회절분석, FTIR 스펙트럼, 계타전위 메타 등을 이용하여 비교연구한 결과는 다음과 같다.

1) 계타전위의 측정결과 표면조작 전의 Si_3N_4 분체와 β -Sialon 분체의 등전점은 각각 8.4 와 7.4 였다. 표면을 산화시킴에 따라 등전점은 낮은 값으로 이동하여 공기 중 800°C 에서 24시간 동안 산화시킨 분체에서는 실리카의 등전점과 거의 같은 값을 나타내었다.

2) 해고제로 Darvan C를 사용한 경우에는 등전점은 3.0°i 었으며, 계타전위는 pH 5~12의 범위에서 거의 일정하였다. SN 7347을 사용한 경우에는 등전점은 8.3°i 었으며, pH 11 이상에서 -156 mV의 높은 계타전위값을 나타내었다.

REFERENCES

1. F.F. Lange, "Powder Processing Science and Techni-

- logy for Increased Reliability," *J. Am. Ceram. Soc.*, **72** (1), 3-15 (1989).
- I.A. Aksay, "Microstructure Control Through Colloidal Consolidation"; pp. 94-104 in *Advances in Ceramics, Vol. 9, Forming of Ceramics*. Edited by J.A. Mangels and G.L. Messing American Ceramic Society, Columbus OH, 1984.
 - A.E. Pasto, J.T. Neil and C.L. Quackenbush, "Microstructural Effects Influencing Strength of Sintered Silicon Nitride"; pp. 476-89 in *Ultrastructure Processing of Ceramics, Glasses, and Composites*. Edited by L.L. Hench and D.R. Ulrich, Wiley, New York, 1984.
 - S. Prochazka and C. Greskovich, "Synthesis and Characterization of a Pure Silicon Nitride Powder," *Am. Ceram. Soc. Bull.*, **57**(6), 579-81, 586 (1986).
 - M.N. Rahaman, Y. Boiteux and L.C. Jonghe, "Surface Characterization of Silicon Nitride and Silicon Carbide Powders." *Am. Ceram. Soc. Bull.*, **65**(8), 1171-76 (1986).
 - P. Greil, "Evaluation of Oxygen Content on Silicon Nitride Powder Surface from the Measurement of the Isoelectric Point," *J. European Ceram. Soc.*, **7**, 353-59 (1991).
 - H.J. Lim and H.L. Lee, "Surface Characterization of β -Sialon Powder Prepared from Hadong Kaolin." *J. Kor. Ceram. Soc.*, **28**(12), 961-68 (1991).
 - N. Wada, S.A. Solin, J. Wong and S. Prochazka, "Raman and IR Absorption Spectroscopic Studies on α , β , and Amorphous Si_3N_4 ," *J. Non-Cryst. Solids*, **43**, 7-15 (1981).
 - A.W. Adamson, *Physical Chemistry of Surfaces*, Wiley, New York, 1976.
 - S. Wild, H. Elliott and D.P. Thomson, "Combined Infra-red and X-ray Studies of β -Silicon Nitride and β' -Sialons," *J. Mat. Sci.*, **13**, 1769-75 (1978).
 - R. de Jong and R.A. McCauley, "Dispersin of Silicon Nitride Powders in Aqueous Medium"; pp. 477-84 in *Ceramic Powder Science II A* Edited by G.L. Messing, E.R. Fuller, Jr and H. Hausner, Americas Ceramic Society, Westerville, Ohio, 1988.
 - S.G. Malgham and L. Lum, "Factors Affecting Interface Properties of Silicon Nitride Powders in Aqueous Environment," pp. 403-12 in *Ceramic Powder Science III*. Edited by G.L. Messing, S.I. Hirano and H. Hausner Americas Ceramic Society, Westerville, Ohio, 1990.
 - R.K. Brow and C.G. Pantano, "Thermochemical Nitridation of Microporous Silica Films in Ammonia," *J. Am. Ceram. Soc.*, **70**(1), 9-14 (1987).
 - J. Reed, pp. 134 in *Introduction to the Principles of Ceramic Processing*, Wiley, New York, 1988.